

研究紀要

第34号

反町Ⅰ期とⅡ期の間 一五領式再制定のために—	福田 聖
加須低地における分析成果から考える利根川の氾濫と流路	魚水 環
埼玉県における埴輪の受容と展開	大谷 徹
木更津市花山遺跡出土の鉄製口琴について	渡辺 清志
中世・近世における土堤防の構造と築堤方法 —加須市旧利根川堤防跡を中心に—	渡邊理伊知
栗橋関所番士屋敷跡のキャップガン	福田 聖 瀧瀬 芳之
平成27年度 ほるたま考古学セミナー特別講演録	
縄文中期社会と諏訪野遺跡	高橋龍三郎
簡易な展開写真の撮影とその質的検討	魚水 環

2020

公益財団法人 埼玉県埋蔵文化財調査事業団

目 次

序

- 反町Ⅰ期とⅡ期の間－五領式再制定のために－ 福田 聖 (1)
加須低地における分析成果から考える利根川の氾濫と流路 魚水 環 (15)
埼玉県における埴輪の受容と展開 大谷 徹 (27)
木更津市花山遺跡出土の鉄製口琴について 渡辺清志 (39)
中世・近世における土堤防の構造と築堤方法 渡邊理伊知 (43)
－加須市旧利根川堤防跡を中心に－
栗橋関所番士屋敷跡のキャップガン 福田 聖・瀧瀬芳之 (61)
平成27年度 ほるたま考古学セミナー特別講演録
縄文中期社会と諏訪野遺跡 高橋龍三郎 (73)
簡易な展開写真の撮影とその質的検討 魚水 環(101)

加須低地における分析成果から考える利根川の氾濫と流路

魚水 環

要旨 加須市樋ノ口遺跡の、谷部を埋積する泥炭層から採集された炭化物からは、C14年代分析の結果、弥生時代中期後半を示す数値が得られた。また、この層を覆う河川堆積層からは、Hr-FAが検出され、5世紀末以降の層であることが分かった。また、プラント・オパール分析からは、各層がいずれも湿潤な低湿地であったことが示された。周辺の遺跡の調査状況も併せて、古墳時代中期以降、平安時代にかけての約400年間で、比較的急速に土砂が堆積していた様相が明らかとなった。調査時に得られた壁断面もこれを裏付けるものである。

縄文海進の終了後、約5000年前に荒川流域からの東遷が開始された利根川の流路について、様々な説が提起されているが、分析結果と周辺遺跡の状況から、同時代には主流路以外の、様々な支流路が存在していたと考えられる。

1 はじめに

利根川は江戸幕府による東遷事業以前、加須低地を経て中川低地を南流し、東京湾へと注いでいた。これを更に遡ると、約5000年前まで利根川は現在の荒川流域を流下していたという（田辺2008）。かつて川口から館林まで舌状に連なる台地の一部であった加須一帯は、深谷断層以東に活発（須貝2013）な関東造盆地運動により、現在もなお地盤が沈降し続けている。このため利根川は約5000年前を境に、荒川低地から中川低地へと流量を増大させていく。その本格化する年代については、3000年前（平井1983）、2000年前（江口・村田1999）、8世紀代（小暮2011）と論が様々なようであるが、これは流路の変遷が複数回にわたり（藤井ほか2008、埼玉沖積層研究グループ2016等）、諸調査の資料採取地点が異なることにも由来すると思われる。

いずれにせよ、利根川由来の堆積物は行田市では台地上の古墳を完全に埋積するほどになった（堀口1981）。この結果、加須低地上には河畔砂丘や、浸食を免れた残存台地に由来する微高地群が点在している。これらは利根川台地群と通称さ

れ、各微高地を中心に種々の遺跡が営まれてきた。樋ノ口遺跡もその一つである。

樋ノ口遺跡は、加須市と羽生市の市境付近に位置し、縄文時代後晩期の環状盛土構造で知られる長竹遺跡の北西に隣接する。遺跡は、利根川堤防の強化事業のため、平成27年4月から平成30年3月まで発掘調査されたが、この結果、縄文時代の埋積谷や、その上に構築された平安時代の集落跡などが発見された（埼玉県埋蔵文化財調査事業団（以下「埼埋文」）2019）。

上述のように、利根川が加須低地に流入するに至った年代はいまだ議論の俎上にあることから、調査時には古環境の復元や谷部の埋積年代の推定を目的に、調査区壁面を対象とする自然科学分析が行われた。

しかし、本稿の筆者を編集者として令和元年8月に刊行された報告書（埼埋文2019）では、紙数の都合上、やむを得ずこの分析結果を掲載できなかった。このため本稿では、これについて改めて報告し、これまで報告してきた利根川流域の諸遺跡の地層も併せて、これらから考えられる内容をまとめたい。

2 自然科学分析結果

樋ノ口遺跡で実施した自然科学分析は、①放射性炭素年代測定、②プラント・オパール分析、③大型植物遺体同定、④テフラ分析である。このうち①は株式会社加速器分析研究所、②～④は株式会社ペレオ・ラボに分析を委託した。各社の分析結果は魚水が編集のうえ、本節に掲載した。

① 放射性炭素年代測定

樋ノ口遺跡は埋没台地上に遺物包含層(第1図)が形成されている。遺物包含層が形成された年代は、出土した土器から縄文～弥生時代と推定されるが、これを明らかにするため、包含層から採取された炭化物3点を測定対象として放射性炭素年代測定を実施した(第1表)。

処理工程としては、以下の通りである。

(1) メス・ピンセットを使い、土等の付着物を取り除く。

(2) 酸-アルカリ-酸(AAA: Acid Alkali Acid)処理により不純物を化学的に取り除く。その後、超純水で中性になるまで希釈し、乾燥させる。AAA処理における酸処理では、通常1mol/l(1M)の塩酸(HCl)を用いる。アルカリ処理では水酸化ナトリウム(NaOH)水溶液を用い、0.001Mから1Mまで徐々に濃度を上げながら処理を行う。アルカリ濃度が1Mに達した時には「AAA」、1M未満の場合は「AaA」と表1に記載する。

(3) 試料を燃焼させ、二酸化炭素(CO₂)を発生させる。

(4) 真空ラインで二酸化炭素を精製する。

(5) 精製した二酸化炭素を、鉄を触媒として水素で還元し、グラファイトを生成させる。

(6) グラファイトを内径1mmのカソードにハンドプレス機で詰め、それをホイルにはめ込み、測定装置に装着する。

測定方法は、加速器をベースとした14C-AMS

専用装置(NEC社製)を使用し、14Cの計数、13C濃度(13C/12C)、14C濃度(14C/12C)の測定を行った。測定では、米国国立標準局(NIST)から提供されたシュウ酸(HOx II)を標準試料とした。この標準資料とバックグラウンド試料の測定も同時に実施した。

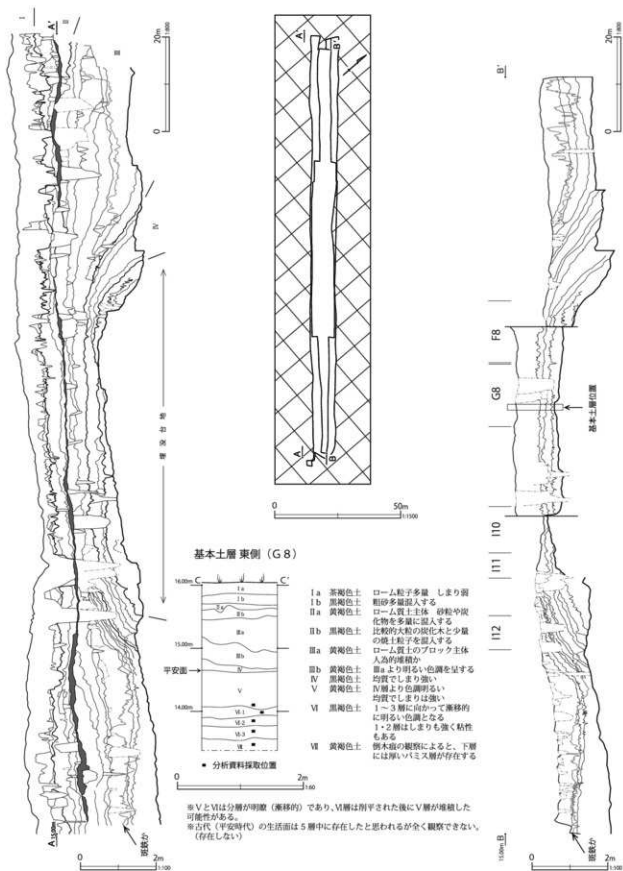
測定結果は、第1・2表、第2図に示した通りである。較正年代は、cal BP(第2表、第2図)で算出した。試料の14C年代は、No.1が2130±20yrBP、No.2が2490±20yrBP、No.3が2520±20yrBPである。暦年較正年代(1o)は、No.1が弥生時代中期頃、No.2、3が縄文時代晩期中葉から後葉頃に相当する(小林2009、小林編2008)。なお、試料の炭素含有率はすべて60%を超える値であった。

② プラント・オパール分析

先述の遺物包含層のうち、分層された4層について、古環境の解明を目的としてプラント・オパール分析用の試料を採取した。以下、その結果と、遺跡周辺のイネ科植物相について検討した。

分析試料は、G8グリッド東壁のVI 1～3・VII層から採取した4点(試料No.1～4)である(第3表)。VII層は褐色シルトで遺物は含まれていない。VI 1～3層では縄文時代早期～晩期の遺物や焼土、炭が含まれており、特に1層では榛名二ツ岳渋川テフラ(Hr-FA)が観察された(テフラ分析の項参照)。1層は、平安時代の層で覆われている。これらの試料について、以下の手順で分析を行った。

秤量した試料を乾燥後、再び秤量する(絶対乾燥重量測定)。別に試料約1g(秤量)をトルピーラーにとり、約0.02gのガラスピーズ(直徑約0.04mm)を加える。これに30%の過酸化水素水を約20～30cc加え、脱有機物処理を行う。処理後、水を加え、超音波モジナイザーによる試料の分散後、沈降法により0.01mm以下の粒子を除去する。この残渣よりグリセリンを用



第1図 鵜ノ口遺跡東西壁断面

第1表 放射性炭素年代測定結果 ($\delta^{13}\text{C}$ 補正値)

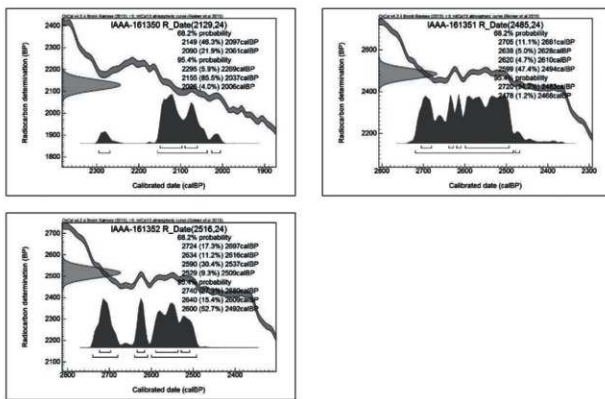
測定番号	試料名	採取場所	試料形態	処理方法	$\delta^{13}\text{C}$ (%)	$\delta^{13}\text{C}$ 補正あり	
					(AMS)	Libby Age (yrBP)	pMC (%)
IAAA-161350	No. 1	H-8 Gr⑩ 3層 3面	炭化物	AaA	-27.39 \pm 0.25	2,130 \pm 20	76.71 \pm 0.23
IAAA-161351	No. 2	SK-149 No.2 3面	炭化物	AAA	-25.53 \pm 0.26	2,490 \pm 20	73.39 \pm 0.22
IAAA-161352	No. 3	SK-154 3面	炭化物	AAA	-25.67 \pm 0.24	2,520 \pm 20	73.11 \pm 0.22

[# 8235]

第2表 放射性炭素年代測定結果 ($\delta^{13}\text{C}$ 未補正值、暦年較正用 ${}^1\text{C}$ 年代、較正年代 cal BP)

測定番号	$\delta^{13}\text{C}$ 補正なし		暦年較正用(yrBP)	1σ 暦年代範囲	2σ 暦年代範囲
	Age (yrBP)	pMC (%)			
IAAA-161350	2,170 \pm 20	76.34 \pm 0.23	2,129 \pm 24	2149calBP-2097calBP (46.3%) 2090calBP-2061calBP (21.9%)	2295calBP-2269calBP (5.9%) 2155calBP-2037calBP(85.5%) 2026calBP-2006calBP(4.0%)
IAAA-161351	2,490 \pm 20	73.31 \pm 0.22	2,485 \pm 24	2705calBP-2681calBP (11.1%) 2639calBP-2628calBP (5.0%) 2620calBP-2610calBP (4.7%) 2599calBP-2494calBP (47.4%)	2720calBP-2483calBP(94.2%) 2478calBP-2468calBP(1.2%)
IAAA-161352	2,530 \pm 20	73.01 \pm 0.22	2,516 \pm 24	2724calBP-2697calBP (17.3%) 2634calBP-2616calBP (11.2%) 2590calBP-2537calBP (30.4%) 2529calBP-2509calBP (9.3%)	2740calBP-2680calBP(27.3%) 2640calBP-2609calBP(15.4%) 2600calBP-2492calBP(52.7%)

[参考値]



第2図 暦年較正年代グラフ (cal BP、参考)

第3表 分析試料一覧

試料No.	地点	層位	土相	備考
No.1		VI-1層	黒褐色 (2.5Y3/2) シルト	Hr FAテフラ、燒土、炭化を含む しまりいい
No.2	G8グリッド東壁	VI-2層	黒褐色 (2.5Y3/2) シルト	灰色シルトをブロック状に含む 燃土少量混じる しまりわるい
No.3		VI-3層	暗褐色 (10YR4/3) シルト	褐色シルト混じる
No.4		VI層	褐色 (10YR4/4) シルト	—

第4表 試料 1g 当りのプラント・オパール個数

	ネザサ節型 (個/g)	ササ属型 (個/g)	他のタケ亜科 (個/g)	ヨシ属 (個/g)	キビ族 (個/g)	ウシクサ族 (個/g)	ポイント型珪酸体 (個/g)
VI-1層	63.000	29.300	30.800	0	96.800	151000	0
VI-2層	183.500	33.700	37.500	1,900	136.700	133000	0
VI-3層	264.700	163.500	163.500	0	163.500	171300	3900
VI層	140.600	92.400	67.400	1,900	65.500	30800	0

いて適宜プレパラートを作製し、検鏡した。同定および計数は、機動細胞珪酸体に由来するプラント・オパールについて、ガラスピースが300個に達するまで行った。また、植物珪酸体の写真を撮り、第4図に掲載した。

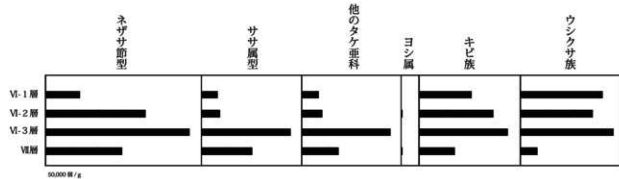
以上の結果、同定・計数された各植物のプラント・オパール個数とガラスピース個数の比率から試料 1g 当りの各プラント・オパール個数を求め(第4表)、分布図に示した(第3図)。以下に示す各分類群のプラント・オパール個数は、試料 1g 当りの検出個数である。

また検鏡の結果、ネザサ節型機動細胞珪酸体とササ属型機動細胞珪酸体、他のタケ亜科機動細胞珪酸体、ヨシ属機動細胞珪酸体、キビ族機動細胞珪酸体、ウシクサ族機動細胞珪酸体の6種類の機動細胞珪酸体の産出が確認できた。ヨシ属以外の分類群は全ての層から産出している。特にVI

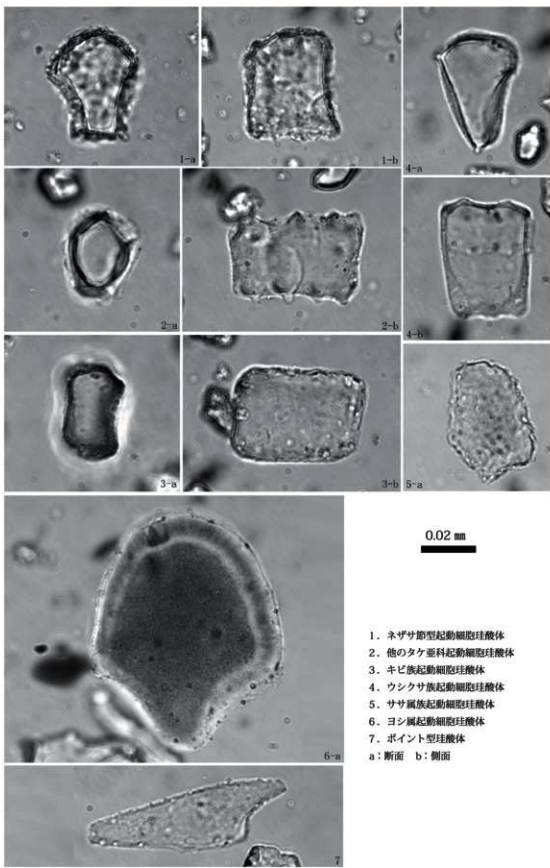
層では、ヨシ属を除いていずれの分類群も産出量が多いが、2層以上になると産出量が減少する傾向にある。ただし、ウシクサ族についてはVI-3層で増加以後、一定の産出量を示す。

VI層では、ネザサ節型やササ属型、他のタケ亜科、ヨシ属、キビ族、ウシクサ族の機動細胞珪酸体の産出が確認できたため、これらのイネ科植物が生育していたと思われる。このうち、抽水植物のヨシ属の産出は、遺跡周辺の一部に湿润な環境が存在していた可能性を示唆する。

VI-3層になると、ヨシ属以外の分類群は産出量が増加する。この層準は、人為的活動の痕跡が見え始める時期であり、例えば、キビ族の分類単位にはキビやアワ、ヒエといった栽培植物が含まれるため、人による栽培が行われた可能性も考えられる。しかしながら、キビ族にはこれら以外に野生種もあり、機動細胞珪酸体の形態で栽培種か



第3図 横ノ口遺跡 (G 8 グリッド東壁) における植物珪酸体分布図



第4図 横ノ口遺跡 (G8 グリッド東壁) から産出した植物珪酸体

野生種かを区別するのは難しい。あるいは、3層には灰色シルトがブロック状に含まれており、何らかの堆積状況を反映していると思われるが、こうした堆積環境の変化が機動細胞珪酸体の産出量に影響している可能性も考えられ、3層における珪酸体産出量の増加の要因については判断が難しい。

VI-2層と1層になると、ほとんどの分類群が減少傾向を示すなか、ウシクサ族については一定の産出量を示す。3層から1層にかけて、遺跡周辺においてウシクサ族が安定して分布していたと思われる。ウシクサ族という分類単位には乾燥的環境に生育するススキやチガヤといった種が含まれており、遺跡周辺にこうした種が分布を広げていたと考えられる。一方で、2層では抽水植物のヨシ属の産出も見られ、湿潤的環境の存在を推測されるため、オギなど湿地の環境に生育するウシクサ族も存在していたのかもしれない。

③ 大型植物遺体同定

プランツ・オパール分析で使用したものと同じ試料を用いて、堆積物を水洗し、当時利用された種実についても検討を行った。

土壤試料は、はじめに各試料300gを最小0.5mm目の篩を用いて水洗した。分析は、肉眼および実体顕微鏡で行った。

第5表 種ノロ遺跡から出土した大型植物遺体

グリッド	G8グリッド東壁
層位	VI-1層
時期	縄文早期後半～晩期末
水洗量	300
分類群	種実なし

しかし、同定した結果、試料中に大型植物遺体は含まれていなかった（第5表）。

木材を含めて、植物遺体は全く含まれていなかったため、当時の植物遺体は残存する環境下になかったと考えられる。

④ テフラ分析

①で対象とした堆積層の上層かつ平安時代までに堆積した層の下位層（VI-1層）について、検出されたテフラの分析を行った。

分析試料は、いずれも平安時代までに堆積した層（V層）の下位層（VI-1層）から採取した6点である（第5図・第6表）。

テフラ試料は、以下の方法で処理した。

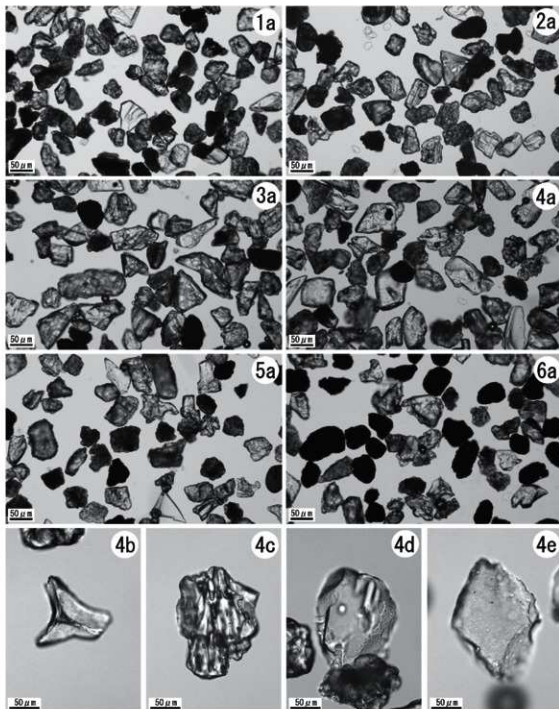
各地点の最上層（1層）の湿润重量約30gを超音波洗浄機で分散した後、1φ（0.5mm）、2φ（0.25mm）、3φ（0.125mm）、4φ（0.063mm）の4枚の篩を重ね、湿式篩分けをした。4φ篩残渣について、重液（和光純薬工業株製テトラブロモエタン（CHBr₂CHBr₂、比重2.96））を用いて軽鉱物と重鉱物に分離した。なお、分析試料とは別に、約10gを乾燥・秤量して、含水量と分析試料の乾燥重量を求めた。

軽鉱物は、簡易プレパラートを作製し、軽鉱物組成と火山ガラスの形態分類を行った。火山ガラスの形態は、町田・新井（2003）の分類基準に従い、バブル（泡）型平板状（b1）、バブル（泡）型Y字状（b2）、軽石型纖維状（p1）、軽石型スボンジ状（p2）、急冷破碎型フレーク状（c1）、急冷破碎型塊状（c2）にそれぞれ分類した。

重鉱物は、封入剤カナダバルサムを用いてプレ

第6表 種ノロ遺跡のテフラ分析試料とその詳細

分析No.	グリッド/壁面	層位	時期	堆積物の特徴
1	I10グリッド東壁	1層	平安時代以前	黒褐色（10YR 3/2）シルト質粘土 白色粒子（最大2mm）点在
2	G8グリッド東壁	1層		黒色（10YR 2/1）シルト質粘土
3	E6グリッド東壁	1層		暗オリーブ褐色（2.5Y 3/3）粘土
4	F8グリッド東壁	1層		暗オリーブ褐色（2.5Y 3/3）粘土
5	I11グリッド東壁	1層		黒褐色（10YR 3/2）粘土
6	J12グリッド東壁	1層		黒褐色（2.5Y 3/2）粘土



1a. 分析 No.1 2a. 分析 No.2 3a. 分析 No.3 4a. 分析 No.4 5a. 分析 No.5 6a. 分析 No.6
4b. バブル型Y字状ガラス (No.4) 4c. 軽石型スポンジ状ガラス (No.4)
4d-4e. 急冷破碎型フレーク状ガラス (No.4)

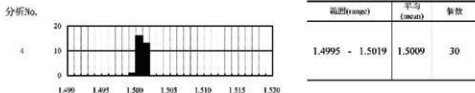
第5図 各試料の軽鉱物 (4 φ) と火山ガラスの顕微鏡写真

第7表 テフラ試料の湿式篩分け・重液分離の結果

分析No.	処理湿重 (g)	含水率 (%)	乾燥重量 (g)	砂粒分の粒度組成(重量g)						重液分離(g)	
				1φ	2φ	3φ	4φ	≥4φ	軽鉱物	重鉱物	
1	36.19	27.53	26.23	0.0285	0.1391	0.3990	0.3744	0.9410	0.1160	0.0238	
2	21.53	34.24	14.16	0.0094	0.1319	0.2810	0.2629	0.6852	0.1211	0.0413	
3	37.86	32.08	25.71	0.0000	0.0155	0.0753	0.0331	0.1239	0.1683	0.0096	
4	36.87	32.69	24.82	0.0069	0.1622	0.4538	0.3720	0.9949	0.1118	0.0479	
5	34.01	31.39	23.33	0.0328	0.1664	0.4385	0.3788	1.0165	0.1336	0.0290	
6	36.21	29.37	25.57	0.0055	0.0532	0.1622	0.1186	0.3395	0.0916	0.0263	

第8表 4φ篩残渣中の鉱物組成

分析No.	火山ガラス						ガラス	重液物	重鉱物				重鉱物 の合計						
	石英 (Q)	長石 (Opx)	不明 (Opq)	バブル(泡)型		斜方輝石 (Cpx)			重鉱物	斜方輝石 (Opx)	單斜輝石 (Cpx)	角閃石 (Ho)	カンラン石 (Ol)	磁鉄 鉱 (Mg)					
				平板状 (H1)	Y字状 (H2)	織網状 (P1)	エビング状 (P2)	フレーク状 (C1)											
1	20	103	119	2	4	-	3	3	-	12	254	107	29	39	-	30	24	229	
2	19	149	84	4	3	-	4	7	-	18	270	127	47	7	-	-	27	24	232
3	10	184	56	1	1	-	6	1	-	9	259	167	37	2	-	-	11	10	227
4	10	168	59	3	4	-	11	8	-	26	263	119	50	4	1	2	26	26	228
5	10	122	95	1	3	-	11	4	-	19	246	98	43	31	-	2	27	25	226
6	1	65	173	3	1	-	9	1	-	14	253	165	32	7	-	-	12	15	231



第6図 分析No.4中の火山ガラスの屈折率測定結果

パラートを作製し、斜方輝石(Opx)、単斜輝石(Cpx)、角閃石(Ho)、カンラン石(Ol)、磁鉄鉱(Mg)などを同定・計数した。

6試料中、火山ガラスが最も多く含まれていた分析No.4の4φ篩残渣の火山ガラスは、横山ほか(1986)に従い、温度変化型屈折率測定装置を用いて屈折率測定を行った。

以下に、各試料の湿式篩分け結果、重鉱物組成、重鉱物組成、火山ガラスの屈折率測定結果を示す。

湿式篩分けの結果、4φ以上の残渣は0.1239～1.0165gと非常に少なかった。含水率は、27.53～34.24%であった(第7表)。重液分離の結果、軽鉱物が多く、重鉱物は少なかった(第7表)。

4φ篩残渣中の火山ガラスは、いずれも少なく、

分析No.4において僅かに多く、軽鉱物263粒中26粒計数された。火山ガラスの形態分類では、軽石型ガラス、バブル(泡)型ガラス、急冷破砕型ガラスが検出された。重鉱物組成は、斜方輝石(Opx)が多く、次いで単斜輝石(Cpx)や角閃石(Ho)が比較的多く含まれ、分析No.1において角閃石は最大39個体計数された(第8表)。

分析No.4の火山ガラスの屈折率測定では、範囲(range)が1.4995-1.5019の非常に狭い範囲を示し、平均値は1.5009であった(第6図)。

以上のように、6地点の平安時代の堆積層の下位層(1層)について、テフラ分析を行ったが、いずれの地点の試料も、火山ガラスは少ない結果であった。ただし、重鉱物では角閃石が多く含まれる試料があった。分析No.4の火山ガラスの屈

折率は、範囲(range)が1.4995-1.5019の非常に狭い範囲を示した。

以上の鉱物組成の特徴や火山ガラスの屈折率から、榛名二ツ岳渋川テフラ(Hr-FA)と考えられる。

Hr-FAは、6世紀初頭に榛名火山から噴出した降下火山灰(afa)、火砕流堆積物(pfl)からなり、分布は東(南)に80kmに及ぶ。主な鉱物は、角閃石、斜方輝石、单斜輝石からなる。火山ガラスの屈折率が範囲1.500-1.502、斜方輝石の屈折率が範囲1.707-1.711である(町田・新井2003)。

3 分析結果を受けて

2の自然科学分析結果に掲載した各社の分析結果については、第1図基本土層図内に採取位置を記載した。また、第1図には樋ノ口遺跡の全体図(第三面)とその壁面土層断面図を掲載した。これらと①~④の分析結果を踏まえると、樋ノ口遺跡の層位形成に際してはいくつかの段階があったことが察せられる。

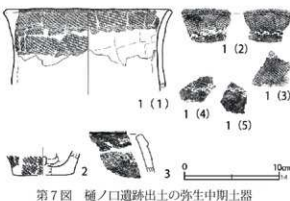
まず、埋没台地として第1図VII層に示した黄褐色土は関東ローム層と思われる。該当する層中には細砂が含まれる箇所があるが、これについては対岸である館林市内の調査から、洪水により冠水したローム台地は「ロームとも砂ともいえぬ土じよう」となることを大矢雅彦が示している(大矢1969)。また西壁断面の注記には、調査担当者の所見としてVII層(ローム層)の「下部には厚いバミス層が存在する」(第1図VII層)とあり、硬砂層(清水1993)であると思われる。

この埋没台地の覆土VI層からは縄文早期~縄文晚期終末の遺物が出土している。古墳時代以降の堆積層と比べれば、薄い層土の中に年代幅の広い資料が含まれていることとなる。谷部の埋積も併せて、終始温潤な環境であったことは②の結果からも窺えるが、一方形成土壤の薄さと①の資料2・3からすれば、縄文時代の晩期中葉程度まで

は埋没台地上にまで河川作用が及ぶことはほぼなかったと考えられるだろう。

VI層の分析結果からは何らかの植物栽培の可能性も考えられ(②3層)、隣接する長竹遺跡との関係性も想起されるが、③からは明確な成果は得られず、実態は不明である。ともあれ、このVI層の最上層に堆積するのがVI-1層とした層である。弥生時代中期の年代が①資料1で算出され(2130±20yrBP)、実際に第三面からは中期後半の遺物が出土している(第7図)。限定的な年代ながら台地上にも埋積谷上にも10cm程度の厚みをもった堆積が見られ、河川作用による大規模な堆積が想定される。これは約2000年前から利根川由来の土砂供給が本格化したとする江口誠一らの説(1999)によく符合し、中川低地における「弥生の小海退」(田辺・石原2013)による河川活動の活発化とも捉えられるが、一方でこの後には、VI-1層に混入するHr-FAすなわち6世紀段階まで大規模な堆積が確認できない。周辺の遺跡を見ても、弥生時代後期には点々と屋敷裏遺跡や天王遺跡、北の自然堤防上にも登戸遺跡等の活動痕跡が見られ始める。遺跡数自体は古墳前期に一度減少する(崎理文2018)が、屋敷裏遺跡や大道遺跡等の大規模な集落も見られるようになる。こうした大規模集落、例えば屋敷裏遺跡は5世紀代に急速に解体が進み(同上)、周辺に小~中規模の集落が展開していく。

樋ノ口遺跡ではこれら古墳期の活動は、僅かに



第7図 樋ノ口遺跡出土の弥生中期土器

出土した埴輪片以外は窺うことができない。弥生中期の層やローム面にまで影響を及ぼしながら、それらの上層に堆積するのが、④の通り Hr-FA（5世紀末～6世紀初頭）が検出されたVI-1層である。堆積層の厚さからこれは実際には Hr-FA の一次堆積ではなく、噴火を受けての河床面の上昇に伴う洪水が、本来のVI-1層を覆うように堆積した層ではないかと思われる。事実、6世紀前半代の洪水については周辺遺跡で広く認識されており、樋ノ口遺跡から北西に 2 km ほどの扇敷裏遺跡では 5世紀後半から 6世紀第二四半期にかけて集落に断絶が見られ（埼埋文 2016）、茂手木遺跡では 6世紀前半段階と想定される畠跡の上層に、砂を主体とする層が堆積している（埼埋文 2018）。対岸の飯積遺跡では、洪水によって埋積した流路跡に 6世紀未段階の住居跡が確認されている（埼埋文 2007）。群馬側でもこの時期の洪水跡は沼田南遺跡、花和田遺跡で知られており、洪水の被害が広範囲に及んだことが窺える。また、各遺跡においては、飯積遺跡を例外的に、その後の復興集落がいずれも規模を縮小する様子も窺うことができる。洪水が流路の変更を伴ったとも考えられるだろう。

その後、樋ノ口遺跡では 9世紀末に至るまで遺構が確認されず、VI-1層から平安時代の確認面

（Ⅲ層上面）までは 40～50cm の砂質土・シルト質土の堆積が見られる。この間では、9世紀中ごろから後半にかけて、周辺の遺跡で洪水による堆積が報告されている。茂手木遺跡や沼田南遺跡等であり、この洪水堆積後、周辺では 10世紀後半まで遺構数が急激に増加することが知られる（埼埋文 2018）。

10世紀の遺構面の上層の堆積もまた時期は不明ながら河成層と思われ、近世面（第8図左アミカケ部）では遺跡周辺はかなり平坦に近い地形となっていたようである。

以上のように、樋ノ口遺跡と周辺諸遺跡の状況から、利根川の洪水堆積の年代推定を試みたが、樋ノ口遺跡周辺では埋没台地上であっても、弥生時代、6世紀前半、9世紀前半と少なくとも大きく 3回の堆積が推定される。第1図を見る限り、各時代について比高差はともかく微高地としての高低は保たれていたと思われ、流路から離れれば堆積は少なくなるはずであるから、樋ノ口遺跡は各時期にある程度は利根川水系に近接していたと思われる。利根川の本流を復元しようとするこれまでの試みについては、冒頭の1で述べたように、年代も流路も多岐にわたる論がすでにあるが、いずれにせよ、このような堆積を複数回もたらした利根川は、実際に時代毎に複数の流路が同時に



第8図 樋ノ口遺跡周辺の微高地強調図

存在し、羽生から加須の低地を縦横に走っていたのではないかと思われる。

であれば、1の「はじめに」で述べたような本流の変遷を推定するといった藤田らや埼玉沖積層研究グループによる議論の有効性については、疑問を抱かざるを得ない。角閃石安山岩や、それに由来する鉱物の検出によって理解しうるのは、利根川「水系」の到達であって、「本流の変遷」ではないのではないか。

樋ノ口遺跡の埋没谷は、現在ではほとんど見てとることができないが、それでも、5 mメッシュ航空レーザー測量を基にした微地形図の高低差を強調してみる（第8図）と、利根川に直交して、

弥勒沼（註1）方面への旧流路に合流するわずかな窪地が見てとれる。地名が指すように、かつては谷地形の名残を利用して利根川からの取水口が開削されていた可能性が考えられるだろう。このように微地形からは、他にも様々な旧流路や自然地形の分布が現れる。例えば、宮東遺跡以東栗橋に至るまで中世を遡る遺跡が存在しない（註2）という遺跡分布と地形の関係について検討する等も可能であろうが、これらについてはまた筆を改めることしたい。

註1 加須低地一帯に、1830年代まで存在した（大矢 1969）沼の一つ。羽生市弥勒付近。

註2 埼玉県文化資源課による。

引用文献

- Bronk Ramsey.C. 2009 「Bayesian analysis of radiocarbon dates」 Radiocarbon 51(1)
- 江口誠一・村田泰輔 1999 「関東平野中央部加須地域における完新世の環境変遷史」 地理学評論 Series A 72巻4号
- 大矢雅彦 1969 「利根川中・下流域平野の地形発達と洪水」 地学雑誌 78巻5号
- 菊地隆男 1981 「先史時代の利根川水系とその変遷」 アーバンクボタ 19巻1号
- 小暮岳史 2011 「荒川低地へ向かった後期完新世の利根川旧流路」 地学雑誌 120巻4号
- 小林謙一 2009 「近畿地方以東の地域への拡散」『新弥生時代の始まり 第4巻 弥生農耕のはじまりとその年代』 雄山閣
- 小林達雄編 2008 『縦覧縦文土器』アム・プロモーション
- 埼玉沖積層研究グループ 2016 「第四紀末の利根川の流路変遷」 地学教育と科学運動 75号
- 清水康守 1993 「第1章 中川水系流域の地形と地質 第1節 流域の地形と表層地質 3 低地」『中川水系 総論・自然』 中川水系総合調査報告書1 埼玉県
- 埼玉県埋蔵文化財調査事業団 2007 『飯積遺跡』事業団報告書第334集
- 埼玉県埋蔵文化財調査事業団 2016 『屋敷裏遺跡』事業団報告書第422集
- 埼玉県埋蔵文化財調査事業団 2018 『茂手木遺跡』事業団報告書第438集
- 埼玉県埋蔵文化財調査事業団 2019 『樋ノ口遺跡』事業団報告書第455集
- 須貝俊彦・松島（大上）恵子・水野清秀 2013 「過去40万年間の関東平野の地形変遷史」 地学雑誌 122巻6号
- 田辺晋 2008 「東京低地北部から中川低地にかけた沖積層の基盤地形」 地質調査報告研究 59巻11/12号
- 田辺晋・石原与四郎 2013 「東京低地と中川低地における沖積層最上部陸成層の発達様式：“弥生の小海退”への応答」 地理学雑誌 119巻5号
- 藤井壽生・西川肇・工藤勝輝・伊藤一正・近藤勉・木田哲量・今野誠 2008 「衛星データを活用した利根川の流路変遷に関する研究」 土木学会論文集 G 64巻1号
- 平井幸弘 1983 「関東平野中央部における沖積低地の地形発達」 地理学評論 56巻10号
- 堀口萬吉 1981 「歴史時代の沈降運動と低地の形成」 アーバンクボタ 19巻6号
- 町田洋・新井房夫 2003 「新編火山灰アトラス」 東京大学出版会。
- 横山卓雄・檀原徹・山下透 1986 「温度変化型屈折率測定装置による火山ガラスの屈折率測定」
- 第四紀研究 25巻1号

研究紀要 第34号

2020

令和2年3月10日 印刷

令和2年3月18日 発行

発行 公益財団法人埼玉県埋蔵文化財調査事業団

〒369-0108 熊谷市船木台4丁目4番地1

<http://www.saimaibun.or.jp>

電話 0493-39-3955

印刷 関東図書株式会社